



دانشگاه تهران  
پردیس دانشکده‌های فنی  
دانشکده مهندسی برق و کامپیوتر



# پردازش تصاویر دیجیتال

گزارش تمرین سری سوم-فصل ۴

دانشجو  
سید محمد جواد موسوی

استاد کلاس  
دکتر حمید سلطانیان‌زاده

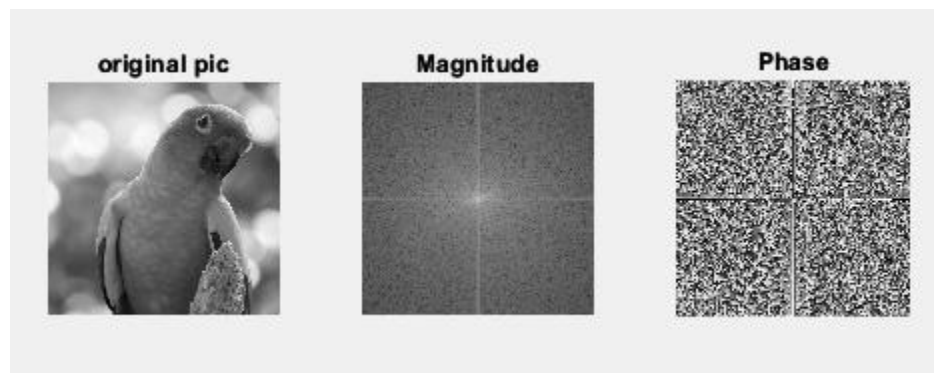
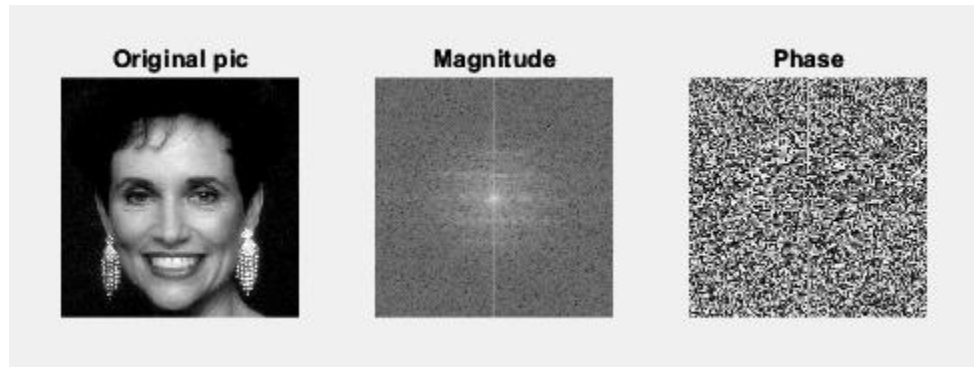
## سوال ۲

### بخش اول

ابتدا با استفاده از دستور imread تصویر را می خوانیم و سپس با تابع fft<sup>۲</sup> فوریه تصویر مورد نظر را محاسبه می کنیم. سپس برای انتقال فرکانس های صفر به مرکز از تابع fftshift استفاده شده است. برای به دست آوردن magnitude و phase از تابع abs و angle بهره می بریم. کد متلب گفته شده در پایین نشان داده شده است:

```
1. %% This exercise explores the characteristics of the Fourier Transform (FT) and implements a
fft2 function in MATLAB
2. % Part a
3.
4. % Load the images "woman.tif" and "parrot.tif"
5. woman_path = 'images/q2/woman.tif';
6. parrot_path = 'images/q2/parrot.tif';
7.
8. pic_woman = imread(woman_path);
9. pic_parrot = imread(parrot_path);
۱۰.
۱۱. pic_woman = double(pic_woman);
۱۲. pic_parrot = double(pic_parrot);
۱۳.
۱۴. % Calculate the Discrete Fourier Transform (DFT) of both images
۱۵. fft_pic_woman = fft2(pic_woman);
۱۶. fft_pic_parrot = fft2(pic_parrot);
۱۷.
۱۸. % Shift zero-frequency component to the center
۱۹. fft_pic_woman=fftshift(fft_pic_woman);
۲۰. fft_pic_parrot=fftshift(fft_pic_parrot);
۲۱.
۲۲. % Obtain the magnitude (frequency spectrum) and phase angle of the DFTs
۲۳. mag_woman = abs(fft_pic_woman);
۲۴. phase_woman = angle(fft_pic_woman);
۲۵.
۲۶. mag_parrot = abs(fft_pic_parrot);
۲۷. phase_parrot = angle(fft_pic_parrot);
۲۸.
۲۹. % Plot the results of each image
۳۰. figure(۱);
۳۱. subplot(۱,۳,۱), imshow(pic_woman, []), title 'Original pic'
۳۲. subplot(۱,۳,۲), imshow(log(double(mag_woman)), []), title 'Magnitude'
۳۳. subplot(۱,۳,۳), imshow(phase_woman, []), title 'Phase'
۳۴.
۳۵. figure(۲);
۳۶. subplot(۱,۳,۱), imshow(pic_parrot, []), title 'original pic'
۳۷. subplot(۱,۳,۲), imshow(log(double(mag_parrot)), []), title 'Magnitude'
۳۸. subplot(۱,۳,۳), imshow(phase_parrot, []), title 'Phase'
```

نتایج در زیر آورده شده است:

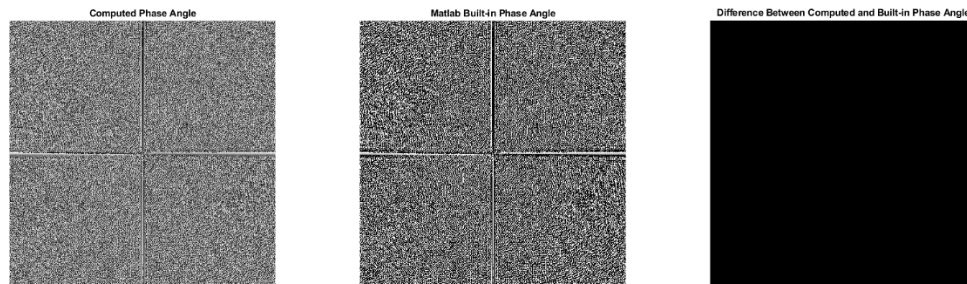


بخش دوم

در این بخش مقدار زاویه تصویر parrot.tif را یکبار با تابع خود متلب و یکبار با فرمول محاسبه به صورت دستی نوشته و مقایسه می کنیم:

```
1. %% Part b
2. R_parrot = real(fft_pic_parrot);
3. I_parrot = imag(fft_pic_parrot);
4.
5. phi = atan2(I_parrot, R_parrot);
6. phi_builtin = angle(fft_pic_parrot);
7. % Display the phase angle
8. figure(3);
9. subplot(1,3,1), imshow(phi, []), title('Computed Phase Angle')
10.
11. % Display the built-in phase angle
12. subplot(1,3,2), imshow(phi_builtin), title('Matlab Built-in Phase Angle')
13.
14. % compare the two phase angle
15. difference = abs(phi - phi_builtin);
16. subplot(1,3,3), imshow(difference, []), title('Difference Between Computed and Built-in Phase Angle')
```

نتیجه در تصویر زیر آمده است:



اختلاف بین این دو تابع برابر صفر است که در شکل سمت راست قابل مشاهده است.

بخش سوم

در این بخش با سه روش به ساخت تصویر woman.tif پرداخته شده است. در روش اول باید با استفاده از فاز این تصویر به ساخت تصویر اصلی پرداخته شود. در این حالت مقدار اندازه را برابر یک در نظر میگیریم. در مرحله دوم با استفاده از اندازه و فاز تصویر parrot سعی در ساخت تصویر اصلی داریم. در حالت سوم با استفاده از اندازه ی تصویر parrot و فاز تصویر woman سعی در ساخت تصویر داریم. در این حالت با توجه به تفاوت در ابعاد دو تصویر لازم است تا ابتدا ابعاد دو تصویر برابر شود. با توجه به اینکه تصویر parrot دارای سایز ۸۰۰ در ۸۰۰ است و تصویر woman دارای ابعاد ۵۱۲ در ۵۱۲ است ما تصویر woman را به ابعاد ۸۰۰ در ۸۰۰ آورده این. برای اینکار تصویری را در وسط ماتریس صفر قرار داده و اطراف آنرا صفر در نظر میگیریم. نتایج برای سه حالت اظ طریق کد زیر در ادامه آورده شده است:

```
1. %% Part c
2. % Compute the Fourier Transforms
3. F_woman = fft2(pic_woman);
4. F_parrot = fft2(pic_parrot);
5.
6. % Extract magnitude and phase components
7. magnitude_woman = abs(F_woman);
8. phase_woman = angle(F_woman);
9.
10. magnitude_parrot = abs(F_parrot);
```

```

11. phase_parrot = angle(F_parrot);
12.
13. % Get sizes
14. [rows_w, cols_w] = size(pic_woman);
15. [rows_p, cols_p] = size(pic_parrot);
16.
17. % Create a zero-padded woman image of size 100x100
18. padded_woman = zeros(rows_p, cols_p);
19.
20. % Calculate center position to insert the original image
21. start_row = floor((rows_p - rows_w) / 2) + 1;
22. start_col = floor((cols_p - cols_w) / 2) + 1;
23. end_row = start_row + rows_w - 1;
24. end_col = start_col + cols_w - 1;
25.
26. % Insert the original woman image into the center of the padded image
27. padded_woman(start_row:end_row, start_col:end_col) = pic_woman;
28.
29. % Compute Fourier Transform of the zero-padded woman image
30. F_padded_woman = fft2(padded_woman);
31.
32. % Extract the phase after zero-padding
33. padded_phase_woman = angle(F_padded_woman);
34.
35. % (a) Reconstruction using only the phase angle of the woman image
36. reconstructed_phase_only = ifft2(exp(1i * phase_woman));
37.
38. % (b) Reconstruction using frequency spectrum + phase of parrot
39. reconstructed_parrot_magnitude_phase = ifft2(magnitude_parrot .* exp(1i *
phase_parrot));
40.
41. % (c) Reconstruction using parrot's magnitude and woman's phase
42. reconstructed_parrot_magnitude_woman_phase = ifft2(magnitude_parrot .* exp(1i *
padded_phase_woman));

```

Original Woman Image



Reconstructed Using Only Phase Angle of pic\_woman



Reconstructed Using Parrot Magnitude & Phase



Reconstructed Using Parrot Magnitude & Woman Phase



مشاهده می شود که با داشتن صرفاً زاویه تصویر woman نمیتوان تصویری خوبی از آنرا بازسازی کرد. با داشتن فاز و اندازه ی تصویر parrot میتوان با عکس تبدیل فوریه به تصویر اصلی رسید. از ترکیب فاز تصویر woman و اندازه تصویر parrot نیز تصویر پایین سمت راست تولید شده که تاحدودی اطلاعات تصویر woman بازسازی شده است.

#### بخش چهارم

در این بخش ابتدا تصویر parrot با دستور imresize به ابعاد ۱۲۰۰ در ۱۲۰۰ تبدیل شد. برای مقایسه طیف تصویر لازم است تا ابعاد تصاویر برابر باشد. لذا با روش zeropadding یک تصویر ۱۲۰۰ در ۱۲۰۰ ساخته شد که در وسط آن تصویر parrot قرار دارد.

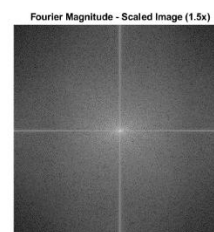
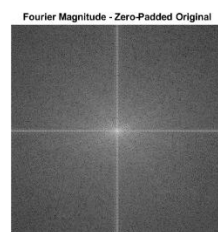
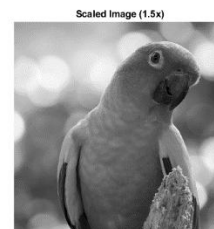
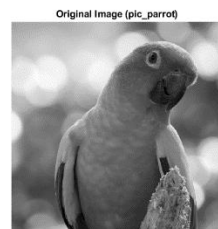


تصویر تغییر سایز داده شده با دستور imresize نیز در زیر آورده شده است:



در نهایت از طریق کد زیر به نمایش طیف دو تصویر در دو حالت مختلف پرداخته شده است:

```
1. %% Part d
2. % Scale the image by 1.5x
3. scale_factor = 1.5;
4. scaled_pic_parrot = imresize(pic_parrot, scale_factor);
5.
6. % Get new size after scaling
7. [rows_s, cols_s] = size(scaled_pic_parrot);
8.
9. % Create a zero-padded version of the original image, centered in the new frame
10. padded_pic_parrot = zeros(rows_s, cols_s);
11.
12. start_row = floor((rows_s - rows_p) / 2) + 1;
13. start_col = floor((cols_s - cols_p) / 2) + 1;
14. end_row = start_row + rows_p - 1;
15. end_col = start_col + cols_p - 1;
16.
17. padded_pic_parrot(start_row:end_row, start_col:end_col) = pic_parrot;
18.
19. % Compute the Fourier Transform of both images
20. F_original = fft2(padded_pic_parrot);
21. F_scaled = fft2(scaled_pic_parrot);
22.
23. % Shift for better visualization
24. F_original_shifted = fftshift(F_original);
25. F_scaled_shifted = fftshift(F_scaled);
26.
27. % Compute magnitude spectra (log for better visibility)
28. magnitude_original = log(1 + abs(F_original_shifted));
29. magnitude_scaled = log(1 + abs(F_scaled_shifted));
```



با توجه به رابطه زیر بدیهی است که وقتی تصویر را بزرگتر میکنیم در حوزه فرکانس محتویات فرکانس بالا به فرکانسهای پایینتر (مرکز) نزدیکتر می شوند. این باعث می شود که محتوای فرکانس بالا کمتر شده و تصویر نرمتر

شود. در حالت عکس اگر تصویر کوچکتر شود در حوزه فرکانس مقادیر فرکانس پایین به مقادیر فرکانس بالا منتقل می شود و فرکانسهای بالا تقویت می شود و تصویر شارپ تر می شود.

$$f(ax) \longleftrightarrow \frac{1}{|a|} F\left(\frac{u}{a}\right)$$

بخش پنجم

در این بخش به بررسی تاثیر شیفت فرکانسی در جهات مختلف و تاثیر آن بر طیف و زاویه فوریه پرداخته شده است. با توجه به رابطه زیر شیفت در حوزه مکان(زمان) بر طیف تاثیری نمی گذارد ولی فاز را تغییر میدهد.

$$I(x - x_0, y - y_0) \longleftrightarrow F(u, v) e^{-j(2\pi(ux_0 + vy_0))}$$

البته حالت‌های مختلفی برای شیفت مکانی ممکن است رخ دهد. با توجه به اطلاعات داده شده در صورت سوال، تصویر اصلی دارای ابعاد ۸۰۰ در ۸۰۰ است. حال آنکه شیفت به میزان ۵ درصد به معنی این است که ۴۰ پیکسل به جهت های گفته شده تغییر مکان دهیم. یک استراتژی برای شیفت فرکانسی این است که تصویر اصلی را با روش zeropadding به ابعاد بزرگتری تبدیل کنیم. مثلاً فرض کنیم در ۴ جهت تصویر تعداد ۵۰ پیکسل(تعداد پیکسل‌های اضافه شده بیشتر از مقدار پیکسل‌های شیفت باشد) صفر اضافه کنیم. در این حالت ابعاد تصویر جدید ۹۰۰ در ۹۰۰ شده است. حال اگر در جهت‌های مختلف شیفت مکانی داده شود با قطعیت میتوان ثابت کرد که طیف تغییری نمیکند ولی فاز تغییر میکند. استراتژی بعدی این میتواند باشد که شیفت فرکانسی را به صورت چرخشی (circular) انجام دهیم. در این حالت ابعاد تصویر تغییری نمیکند ولی اگر مثلاً در جهت محور x از یک سمت چهل پیکسل شیفت بدهیم، در همین راستا و در جهت مخالف همین ۴۰ پیکسل اضافه می شود. استراتژی سوم این است که اگر در یک جهت شیفت مکنی داده شد، در جهت دیگر پیکسل صفر قرار دهیم که این روش با توجه به اینکه اطلاعات تصویر را تغییر میدهد روش مناسبی نیست. در حل این سوال از استراتژی دوم استفاده شده است. از طریق کد زیر ابتدا مقدار شیفت بر حسب پیکسل محاسبه شده و با دستور circshift در سه حالت گفته شده در صورت سوال به شیفت مکانی پرداخته شده است.

```
1. %% Part e
2. % Shift parameters (5% of size)
3. shift_x = round(0.05 * cols_p);
4. shift_y = round(0.05 * rows_p);
5.
6. % Apply circular shifting (wrapping around the edges)
7. shifted_x = circshift(pic_parrot, [0, shift_x]); % Shift in X direction
8. shifted_y = circshift(pic_parrot, [shift_y, 0]); % Shift in Y direction
```



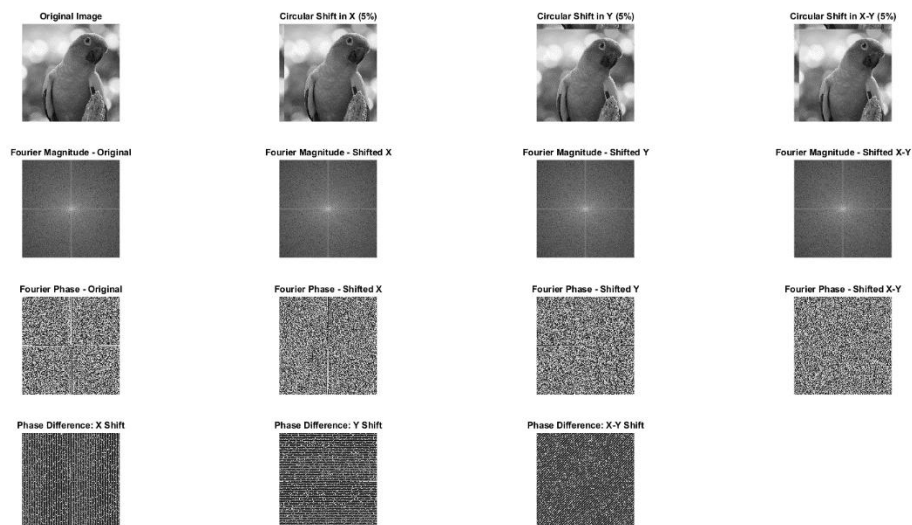
```
9. shifted_xy = circshift(pic_parrot, [shift_y, shift_x]); % Shift in both X and Y
```

در مرحله بعد به محاسبه فوریه دوبعدی پرداخته شده است:

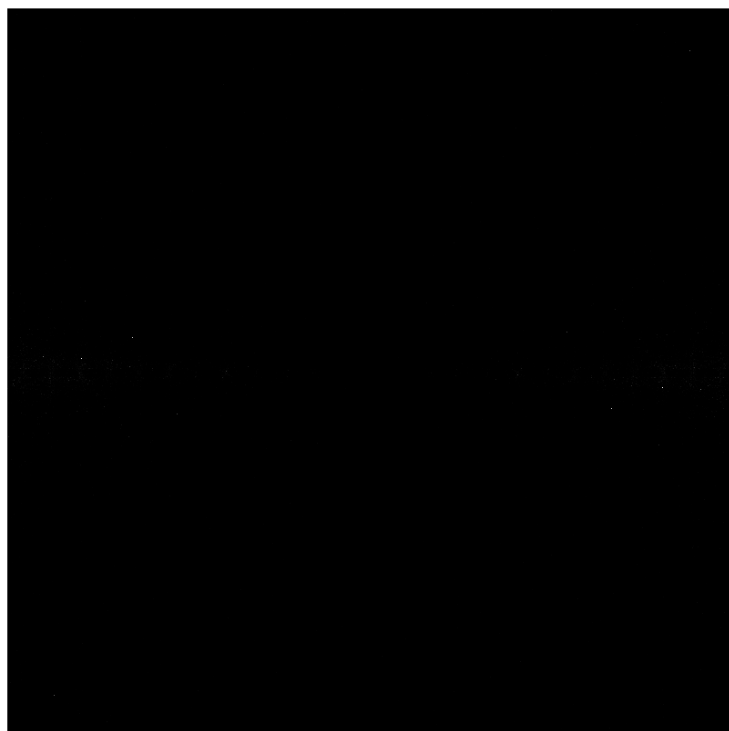
```
1. % Compute Fourier Transform for all images
2. F_original = fft2(pic_parrot);
3. F_shifted_x = fft2(shifted_x);
4. F_shifted_y = fft2(shifted_y);
5. F_shifted_xy = fft2(shifted_xy);
6.
7. % Shift for visualization
8. F_original_shifted = fftshift(F_original);
9. F_shifted_x_shifted = fftshift(F_shifted_x);
10. F_shifted_y_shifted = fftshift(F_shifted_y);
11. F_shifted_xy_shifted = fftshift(F_shifted_xy);
```

در انتها نیز مقادیر طیف و زاویه محاسبه شده و به نمایش گذاشته شده است:

```
1. % Compute magnitude spectra
2. magnitude_original = log(1 + abs(F_original_shifted));
3. magnitude_x = log(1 + abs(F_shifted_x_shifted));
4. magnitude_y = log(1 + abs(F_shifted_y_shifted));
5. magnitude_xy = log(1 + abs(F_shifted_xy_shifted));
6.
7. % Compute phase spectra
8. phase_original = angle(F_original_shifted);
9. phase_x = angle(F_shifted_x_shifted);
10. phase_y = angle(F_shifted_y_shifted);
11. phase_xy = angle(F_shifted_xy_shifted);
```



با توجه به نکات گفته شده در ابتدای توضیحات وقتی عملیات شیفت را به صورت چرخشی انجام می دهیم اگرچه ابعاد تصویر ثابت باقی می ماند ولی تغییراتی در هم فاز و هم طیف ایجاد می شود. البته لازم به ذکر است که تغییرات در طیف بسیار کم است که در زیر اختلاف بین طیف تصویر اصلی و تصویری که به اندازه ۵ درصد در جهت محور x شیفت پیدا کرده را خواهید دید:



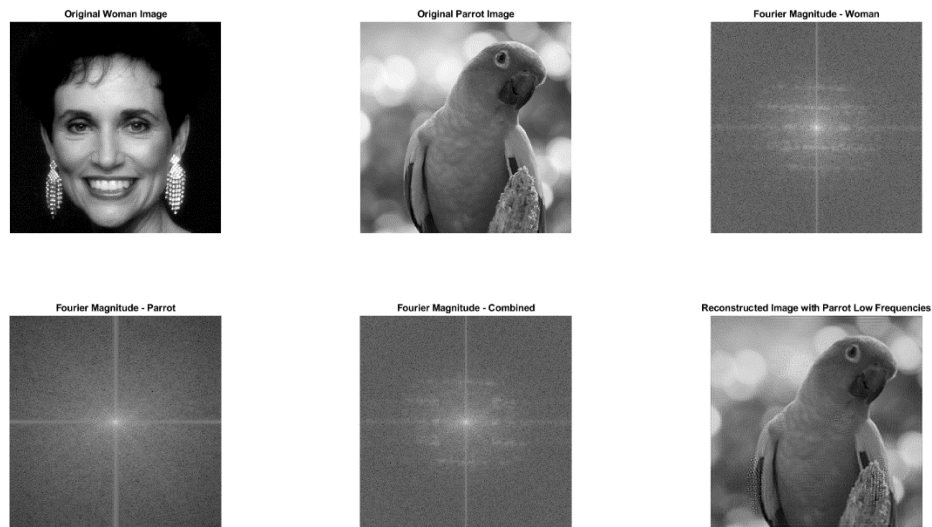
همانطور که در تصویر بالا میبینید اختلاف بین این دو طیف بسیار کم و در حد صفر است.

بخش ششم

در این بخش، هدف بررسی تأثیر مؤلفه‌های پایین‌فرکانس (Low-Frequency Components) بر ساختار کلی تصویر است. برای این منظور، ابتدا تصاویر woman و parrot بارگذاری و بررسی شد که اندازه‌ی آن‌ها برابر باشد. در صورت نیاز، تصویر طوطی به ابعاد تصویر زن تغییر اندازه داده شد تا قابلیت مقایسه و ترکیب داشته باشند. سپس هر دو تصویر به نوع double تبدیل شده و با استفاده از تبدیل فوریه دوبعدی به فضای فرکانسی انتقال یافتند. همچنین با اعمال fftshift، فرکانس‌های پایین به مرکز طیف منتقل شدند. در مرحله بعد، یک ناحیه مربعی با اندازه  $128 \times 128$  پیکسل در مرکز طیف فرکانسی مشخص شد که نمایانگر مؤلفه‌های پایین‌فرکانس تصویر است.

این ناحیه از تصویر طوطی گرفته شده و جایگزین مؤلفه‌های متناظر در تصویر زن شد. این جایگزینی باعث می‌شود که ساختار کلی و محتوای پایه‌ای تصویر (مانند نورپردازی و ترکیب کلی سطوح خاکستری) از تصویر طوطی گرفته شود، در حالی که جزئیات دقیق‌تر تصویر زن حفظ می‌گردند. سپس با استفاده از `fftshift` و `ifft2`، تصویر ترکیب‌شده به فضای مکانی بازگردانده شد و بخش حقیقی آن نمایش داده شد. در نهایت، شش تصویر در کنار هم نمایش داده شدند که شامل تصویر اصلی زن، تصویر اصلی طوطی، طیف فرکانسی هر دو تصویر، طیف ترکیبی، و تصویر بازسازی‌شده نهایی است.

```
1. %% Part f
2. % Ensure both images have the same size
3. [rows_w, cols_w] = size(pic_woman);
4. [rows_p, cols_p] = size(pic_parrot);
5.
6. if rows_w ~= rows_p || cols_w ~= cols_p
7.     % Resize the parrot image to match woman image size
8.     pic_parrot = imresize(pic_parrot, [rows_w, cols_w]);
9. end
10.
11. % Convert to double
12. pic_woman = double(pic_woman);
13. pic_parrot = double(pic_parrot);
14.
15. % Compute the Fourier Transform of both images
16. F_woman = fft2(pic_woman);
17. F_parrot = fft2(pic_parrot);
18.
19. % Shift zero frequency components to the center
20. F_woman_shifted = fftshift(F_woman);
21. F_parrot_shifted = fftshift(F_parrot);
22.
23. center_x = floor(rows_w/2);
24. center_y = floor(cols_w/2);
25. patch_size = 128;
26. half_patch = floor(patch_size/2);
27.
28. % Replace lower half frequency components
29. F_combined = F_woman_shifted;
30. F_combined(center_x-half_patch:center_x+half_patch, center_y-
half_patch:center_y+half_patch) = F_parrot_shifted(center_x-half_patch:center_x+half_patch,
center_y-half_patch:center_y+half_patch);
31.
32. % Shift back the modified Fourier Transform
33. F_combined_unshifted = ifftshift(F_combined);
34.
35. % Compute the inverse Fourier Transform
36. reconstructed_image = ifft2(F_combined_unshifted);
37. reconstructed_image = abs(reconstructed_image);
```

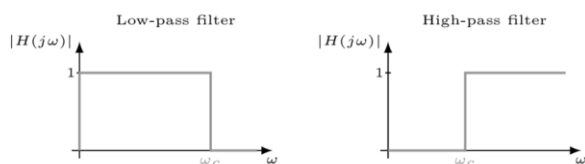


نتایج نشان می‌دهند که مؤلفه‌های پایین فرکانس به شدت بر ساختار کلی، روشنایی، و ترکیب کلی تصویر تأثیرگذار هستند. با وجود اینکه لبه‌ها و جزئیات دقیق همچنان از تصویر زن گرفته شده‌اند، اما ظاهر کلی تصویر بازسازی شده تحت تأثیر تصویر طوطی قرار گرفته است.

### سوال ۳

در این سوال به تعریف تابعی می‌پردازیم که تصویر و نوع فیلتر و آرگومانهای آنرا گرفته و در نهایت تصویر فیلتر شده را به نمایش می‌گذارد. در ابتدا لازم است تا به نکات زیر توجه شود. فیلتر بالا گذر دستگاهی است که فرکانس‌های بالاتر از مقدار خاصی را می‌گذراند و فرکانس‌های پایین‌تر از آن را عبور نمی‌دهد (تضعیف می‌کند). در مقابل فیلتر پایین گذر نوعی فیلتر است که سیگنال‌های با بسامدی کمتر از یک بسامد مشخص را عبور می‌دهد.

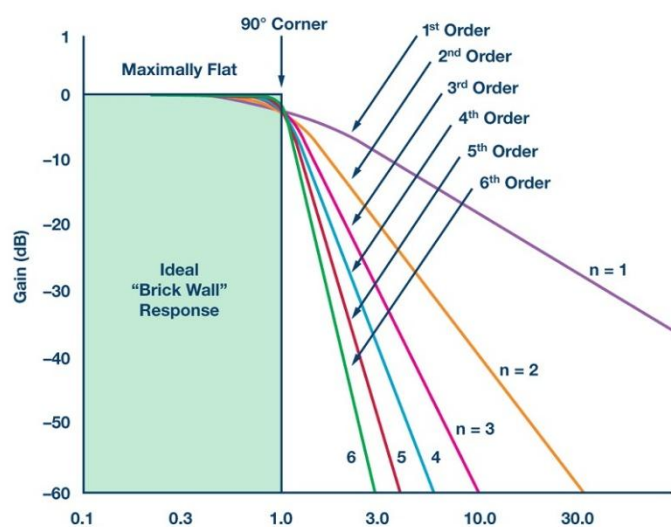
فیلتر ایده آل



رابطه تابع تبدیل این فیلتر(بالاگذر) به صورت زیر است:

$$H(u, v) = \begin{cases} 0 & \text{if } D(u, v) \leq D_c \\ 1 & \text{if } D(u, v) > D_c \end{cases}$$

فیلتر Butterworth



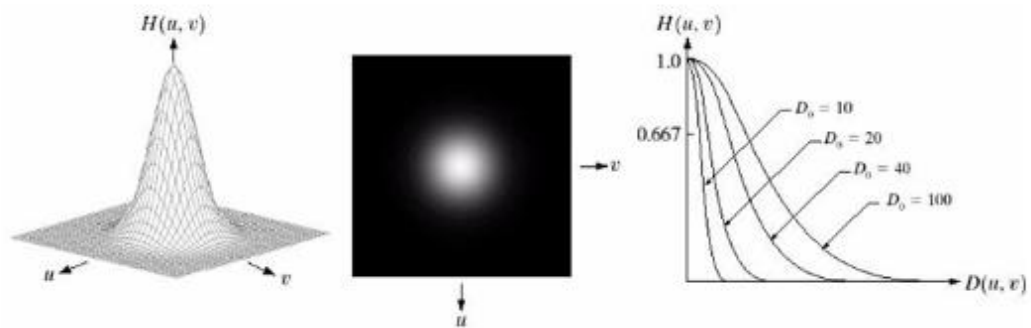
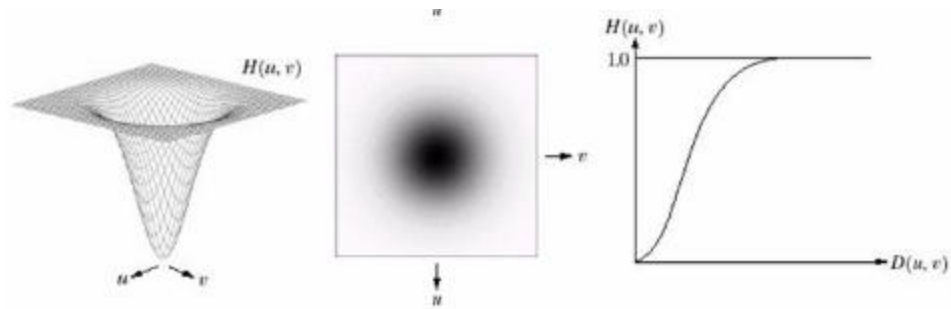
رابطه تابع تبدیل این فیلتر(بالاگذر) به قرار زیر است:

$$H(u, v) = \frac{1}{1 + [D_c / D(u, v)]^{2n}}$$

فیلتر Gaussian

رابطه تابع تبدیل این فیلتر(بالاگذر) به قرار زیر است:

$$H(u, v) = 1 - e^{-D^2(u, v) / 2D_c^2}$$



کد زیر برای پیاده سازی تابع استفاده شده است:

```

1. function [filtered_image, filter_response] = filter_function(image, filter_type, kernel_type,
D0, n)
2. % Convert image to grayscale and double precision if necessary
3. if size(image, 3) == 3
4.     image = rgb2gray(image);
5. end
6. image = double(image);
7.
8. % Get image size
9. [rows, cols] = size(image);
10. u = -floor(rows/2):floor(rows/2)-1;
11. v = -floor(cols/2):floor(cols/2)-1;
12. [U, V] = meshgrid(v, u);
13. D = sqrt(U.^2 + V.^2); % Distance from the center
14.
15. % Select the appropriate filter
16. switch lower(kernel_type)
17.     case 'ideal'
18.         H = double(D <= D0);
19.     case 'butterworth'
20.         H = 1 ./ (1 + (D ./ D0).^(2*n)); % Butterworth filter of order n
21.     case 'gaussian'
22.         H = exp(-(D.^2) / (2 * D0.^2)); % Gaussian LPF
23.     otherwise
24.         error('Invalid kernel type. Choose "Ideal", "Butterworth", or
"Gaussian".');
25.     end
26.
27. % Convert Low-Pass to High-Pass if needed
28. if strcmpi(filter_type, 'hpf')
29.     H = 1 - H; % HPF is complement of LPF
30. elseif ~strcmpi(filter_type, 'lpf')

```

```

۳۱.         error('Invalid filter type. Choose "LPF" (Low-Pass Filter) or "HPF" (High-Pass
Filter).');
۳۲.     end
۳۳.
۳۴.     % Compute Fourier Transform of the image
۳۵.     F_image = fft۲(image);
۳۶.     F_shifted = fftshift(F_image);
۳۷.
۳۸.     % Apply filter in the frequency domain
۳۹.     F_filtered = F_shifted .* H;
۴۰.
۴۱.     % Compute the inverse Fourier Transform
۴۲.     F_unshifted = ifftshift(F_filtered);
۴۳.     filtered_image = real(ifft۲(F_unshifted));
۴۴.
۴۵.     % Return the filter response for visualization
۴۶.     filter_response = H;
۴۷. end

```

با توجه به صورت سوال اقدام به اعمال فیلترهای مختلف روی تصویر داده شده میکنیم:

در بخش اول فیلترهای ایده آل پایین گذر و بالا گذر را برای مقادیر فرکانس قطع مختلف بر روی تصویر داده شده اعمال کرده و نتایج را نمایش میدهیم. کد زیر مربوط به پیاده سازی این مرحله است:

```

1. % Read the image
2. image_path = 'images/q3/char.tif';
3. char_img = imread(image_path);
4.
5. % Define cutoff frequencies
6. D0_values = [15, 30, 50, 150, 400];
7. n = 2; % Butterworth order
8.
9. %% Ideal filter
۱۰. % Initialize figures
۱۱. figure;
۱۲. sgtitle('Ideal Low-Pass Filtered Images');
۱۳.
۱۴. figure;
۱۵. sgtitle('Ideal High-Pass Filtered Images');
۱۶.
۱۷. figure;
۱۸. sgtitle('Frequency Responses - Ideal Filters');
۱۹.
۲۰. % Apply Ideal Filters
۲۱. for i = ۱:length(D۰_ values)
۲۲.     D۰ = D۰_ values(i);
۲۳.
۲۴.     % Apply Ideal Low-Pass Filter
۲۵.     [filtered_lpf, response_lpf] = filter_function(char_img, 'lpf', 'ideal', D۰, n);
۲۶.
۲۷.     % Apply Ideal High-Pass Filter
۲۸.     [filtered_hpf, response_hpf] = filter_function(char_img, 'hpf', 'ideal', D۰, n);
۲۹.
۳۰.     % Display LPF results
۳۱.     figure();
۳۲.     subplot(۲, length(D۰_ values), i);
۳۳.     imshow(filtered_lpf, []);
۳۴.     title(['LPF D۰='], num۲str(D۰));
۳۵.

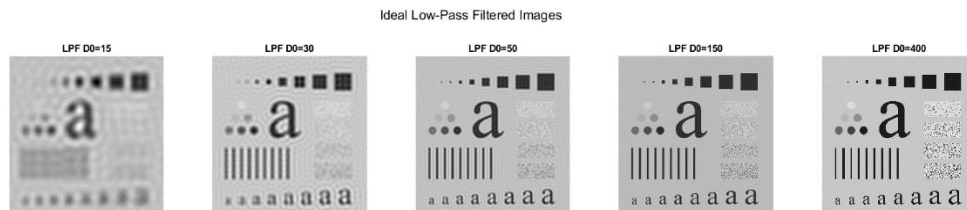
```

```

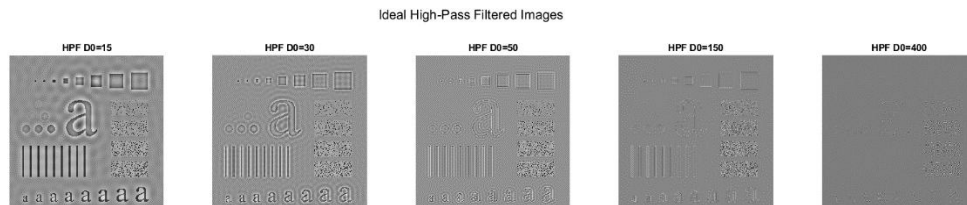
۳۶. % Display HPF results
۳۷. figure(۲);
۳۸. subplot(۲, length(D_values), i);
۳۹. imshow(filtered_hpf, []);
۴۰. title(['HPF D=' num2str(D)]);
۴۱.
۴۲. % Display frequency response
۴۳. figure(۳);
۴۴. subplot(۲, length(D_values), i);
۴۵. imshow(response_lpf, []);
۴۶. title(['LPF D=' num2str(D)]);
۴۷.
۴۸. subplot(۲, length(D_values), i + length(D_values));
۴۹. imshow(response_hpf, []);
۵۰. title(['HPF D=' num2str(D)]);
۵۱. end

```

نتایج اعمال فیلتر پایین گذر ایده آل به صورت زیر است:

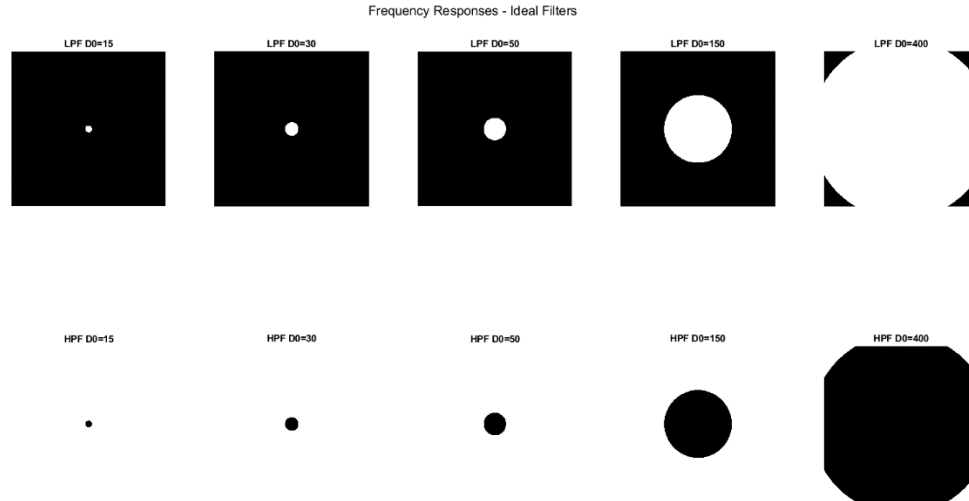


نتایج اعمال فیلتر بالا گذر ایده آل نیز به قرار زیر است:



و در نهایت پاسخ فرکانسی هر فیلتر (ماسک مورد استفاده) به قرار زیر است:





همین مراحل را یکبار دیگر برای فیلتر باتروورث انجام می دهیم:

```

1. %% Butterworth Filter
2. figure;
3. sgttitle('Butterworth Low-Pass Filtered Images');
4.
5. figure;
6. sgttitle('Butterworth High-Pass Filtered Images');
7.
8. figure;
9. sgttitle('Frequency Responses - Butterworth Filters');
10.
11. for i = 1:length(D_values)
12.     D = D_values(i);
13.
14.     % Apply Butterworth Low-Pass Filter
15.     [filtered_lpf, response_lpf] = filter_function(char_img, 'lpf', 'butterworth', D,
n);
16.
17.     % Apply Butterworth High-Pass Filter
18.     [filtered_hpf, response_hpf] = filter_function(char_img, 'hpf', 'butterworth', D,
n);
19.
20.     % Display LPF results
21.     figure(4);
22.     subplot(2, length(D_values), i);
23.     imshow(filtered_lpf, []);
24.     title(['LPF D=', num2str(D)]);
25.
26.     % Display HPF results
27.     figure(5);
28.     subplot(2, length(D_values), i);
29.     imshow(filtered_hpf, []);
30.     title(['HPF D=', num2str(D)]);
31.
32.     % Display frequency response
33.     figure(6);
34.     subplot(2, length(D_values), i);
35.     imshow(response_lpf, []);
36.     title(['LPF D=', num2str(D)]);
37.

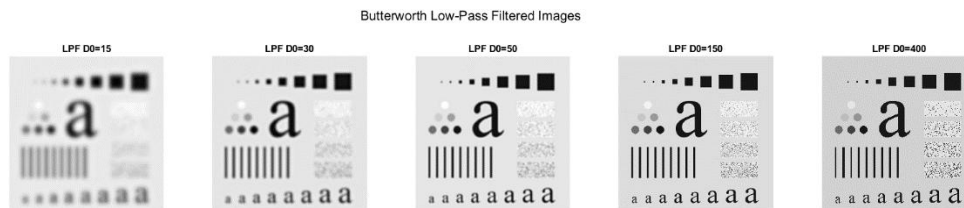
```

```

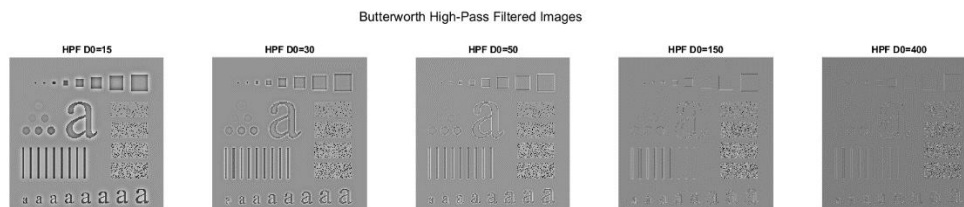
۳۸. subplot(۲, length(D_ values), i + length(D_ values));
۳۹. imshow(response_hpf, []);
۴۰. title(['HPF D۰='], num2str(D_));
۴۱. end

```

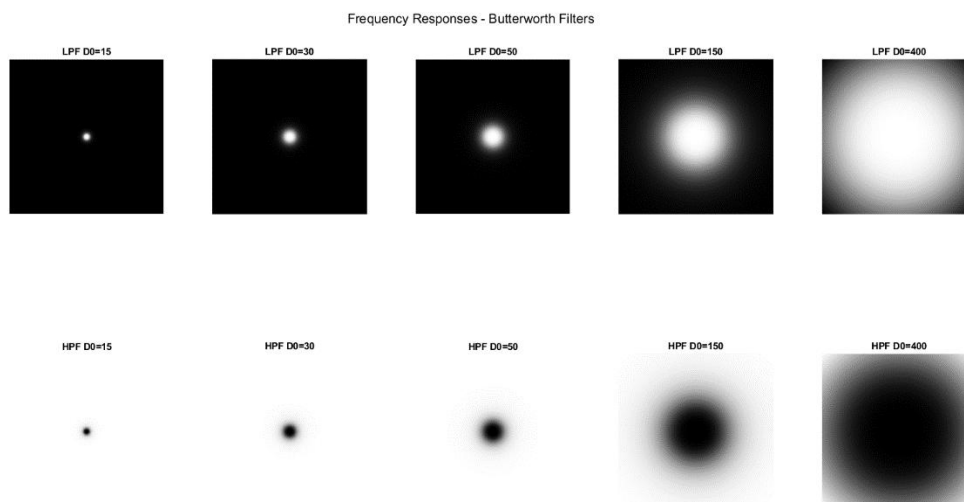
نتایج حاصل از اعمال فیلتر پایین گذر باتروورث به قرار زیر است:



نتایج برای فیلتر بالاگذر از همین نوع نیز در زیر آورده شده است:



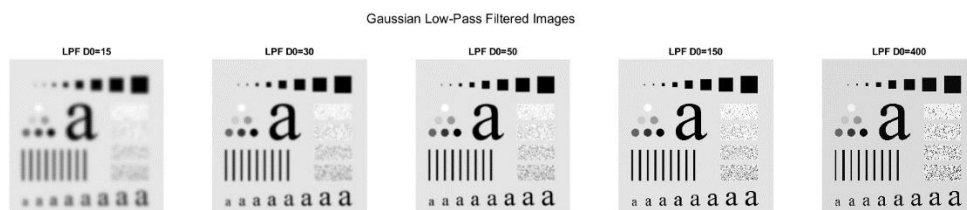
و در نهایت پاسخ فرکانسی برای هر فیلتر در تصویر زیر قابل نمایش است:



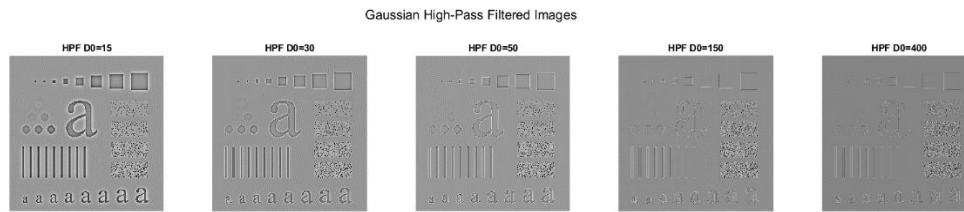
در آخر همین مراحل را برای فیلتر گوسی تکرار می کنیم.

```
1. %% Gaussian Filter
2. figure;
3. sgtitle('Gaussian Low-Pass Filtered Images');
4.
5. figure;
6. sgtitle('Gaussian High-Pass Filtered Images');
7.
8. figure;
9. sgtitle('Frequency Responses - Gaussian Filters');
10.
11. for i = 1:length(D_values)
12.     D = D_values(i);
13.
14.     % Apply Gaussian Low-Pass Filter
15.     [filtered_lpf, response_lpf] = filter_function(char_img, 'lpf', 'gaussian', D, n);
16.
17.     % Apply Gaussian High-Pass Filter
18.     [filtered_hpf, response_hpf] = filter_function(char_img, 'hpf', 'gaussian', D, n);
19.
20.     % Display LPF results
21.     figure(7);
22.     subplot(2, length(D_values), i);
23.     imshow(filtered_lpf, []);
24.     title(['LPF D=', num2str(D)]);
25.
26.     % Display HPF results
27.     figure(8);
28.     subplot(2, length(D_values), i);
29.     imshow(filtered_hpf, []);
30.     title(['HPF D=', num2str(D)]);
31.
32.     % Display frequency response
33.     figure(9);
34.     subplot(2, length(D_values), i);
35.     imshow(response_lpf, []);
36.     title(['LPF D=', num2str(D)]);
37.
38.     subplot(2, length(D_values), i + length(D_values));
39.     imshow(response_hpf, []);
40.     title(['HPF D=', num2str(D)]);
41. end
```

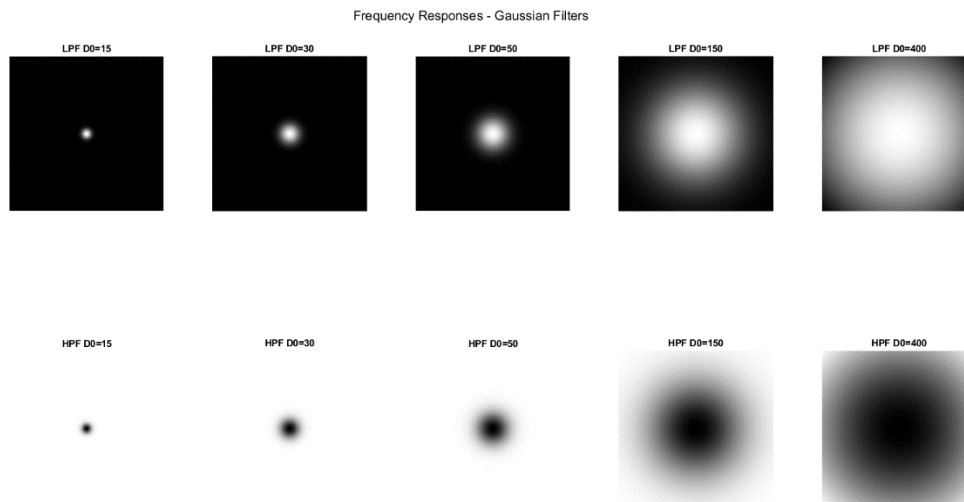
نتایج برای فیلتر پایین گذر به قرار زیر است:



برای فیلتر بالاگذر گوسی داریم:



و در نهایت پاسخ فرکانسی برای فیلترهای اعمالی به قرار زیر است:



سوال ۴

بخش اول

در این بخش، هدف بهبود وضوح تصویر اشعه ایکس قفسه سینه با استفاده از فیلتر تأکید بر فرکانس‌های بالا است. این نوع فیلتر برای تقویت جزئیات و لبه‌هایی که به دلیل تاری ناشی از محدودیت‌های نوری اشعه ایکس از بین رفته‌اند، بسیار کاربردی است. در ابتدا تصویر **chest.tif** بارگذاری و بررسی شد که در صورت رنگی بودن، به تصویر خاکستری تبدیل شود. سپس تصویر برای پردازش به نوع **double** تبدیل شد تا در محاسبات فوریه دقت کافی وجود داشته باشد. پس از آن، با استفاده از  $\text{fft}^2$  تبدیل فوریه دوبعدی روی تصویر اعمال شد و برای قرار گرفتن مؤلفه‌های کم‌فرکانس در مرکز، از **fftshift** استفاده شد.

در گام بعد، یک فیلتر بالاگذر گاوسی طراحی شد. ابتدا شبکه فرکانسی با مختصات  $u$  و  $v$  ایجاد شد و با انتقال مرکز آن‌ها به صفر، فاصله فرکانسی  $D$  برای هر نقطه محاسبه گردید. سپس با استفاده از این فاصله، فیلتر بالاگذر گاوسی ساخته شد که مؤلفه‌های پایین فرکانس را تضعیف کرده و فرکانس‌های بالا را حفظ می‌کند. سپس با تعریف ضرایب  $k_1 = 0.5$  و  $k_2 = 0.75$ ، فیلتر تأکید بر فرکانس بالا ایجاد شد که ترکیبی از تصویر اصلی و فیلتر بالاگذر گاوسی است. این ترکیب باعث می‌شود نه تنها لبه‌ها تقویت شوند، بلکه جزئیات نیز به طور قابل کنترل حفظ یا برجسته شوند. در ادامه، با استفاده از `ifftshift` و سپس `ifft2` تصویر از حوزه فرکانس به حوزه مکان بازگردانده شد و فقط بخش حقیقی آن برای نمایش استفاده گردید.

```

1. %% Part a
2. % Load the chest image
3. chest_img = imread('images/q4/chest.tif');
4.
5. % Convert to grayscale if the image is not already
6. if size(chest_img, 3) == 3
7.     chest_img = rgb2gray(chest_img);
8. end
9.
10. % Convert the image to double for processing
11. chest_img = double(chest_img);
12.
13. % Apply Fourier Transform to the image
14. F = fft2(chest_img);
15.
16. % Shift the zero-frequency component to the center
17. F_shifted = fftshift(F);
18.
19. % Create the Gaussian high-pass filter
20. [M, N] = size(chest_img);
21. [u, v] = meshgrid(0:N-1, 0:M-1);
22. u = u - floor(N/2);
23. v = v - floor(M/2);
24.
25. % Compute the frequency distance
26. D = sqrt(u.^2 + v.^2);
27.
28. % Set the standard deviation (sigma) for the Gaussian filter
29. sigma = 10;
30.
31. % Gaussian High-pass filter
32. H_hp = 1 - exp(-(D.^2) / (2 * sigma^2));
33.
34. % Step 1: Define the constants k1 and k2
35. k1 = 0.5;
36. k2 = 0.75;
37.
38. % High-Frequency Emphasis Filtering
39. G_shifted = (k1 + k2 * H_hp) .* F_shifted;
40.
41. % Inverse Fourier Transform to get the filtered image
42. G = ifftshift(G_shifted); % Reverse the shift before performing inverse FFT
43. g = real(ifft2(G));
44.
45. % Display the results
46. figure;
47. subplot(1, 3, 1);
48. imshow(chest_img, []);

```

```

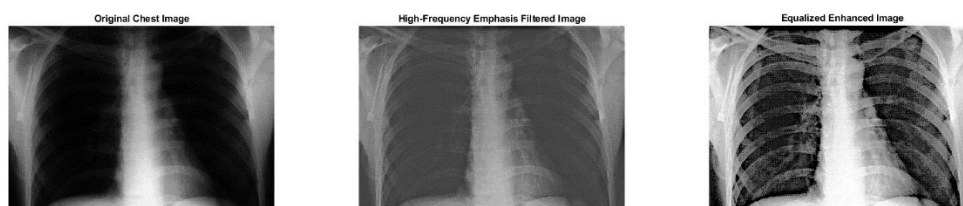
۴۹. title('Original Chest Image');
۵۰.
۵۱. subplot(۱, ۳, ۲);
۵۲. imshow(g, []);
۵۳. title('High-Frequency Emphasis Filtered Image');

```

## بخش دوم

در این بخش، هدف بهبود بیشتر تصویر فیلتر شده با استفاده از همسان‌سازی هیستوگرام (HE) است. همان‌طور که در بخش قبل مشاهده شد، فیلتر تأکید بر فرکانس‌های بالا توانست جزئیات و لبه‌های تصویر را تقویت کند، اما مقدار شدت روشنایی تصویر حاصل معمولاً در یک بازه‌ی محدود و نسبتاً باریک متمرکز می‌شود. این تمرکز باعث می‌شود تصویر نهایی کنتراست ضعیفی داشته باشد و بخشی از اطلاعات بصری آن به‌خوبی قابل مشاهده نباشد. برای رفع این مشکل، از تکنیک همسان‌سازی هیستوگرام استفاده شده است که با گسترش محدوده‌ی شدت روشنایی و توزیع یکنواخت‌تر سطوح خاکستری، کنتراست تصویر را بهبود می‌بخشد. در این کد، ابتدا تصویر حاصل از  $\text{fft}^2(G)$  به نوع  $\text{uint}^8$  تبدیل شده تا قابل استفاده در تابع **histeq** باشد. سپس خروجی حاصل، به‌عنوان تصویر نهایی همسان‌سازی شده نمایش داده شد.

با مشاهده نتیجه، می‌توان دید که تصویر نهایی نسبت به تصویر اولیه‌ی فیلتر شده، وضوح و کنتراست بیشتری دارد و جزئیات آن به‌مراتب بهتر دیده می‌شوند. بنابراین ترکیب فیلتر تأکید بر فرکانس بالا و همسان‌سازی هیستوگرام یک روش مؤثر برای افزایش کیفیت و وضوح تصاویر پزشکی مانند اشعه ایکس محسوب می‌شود.

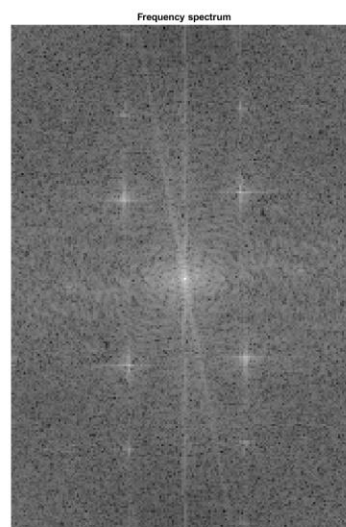


سوال ۵

بخش اول

ابتدا برای نمایش تصویر اصلی و طیف آن از دستور زیر استفاده شده است:

```
1. %% Part a
2. % Load the image
3. image_path = 'images/q5/carmoire.tif';
4. carmoire_img = imread(image_path);
5.
6. % convert to grayscale
7. if size(carmoire_img, 3) == 3
8.     carmoire_img = rgb2gray(carmoire_img);
9. end
10.
11. % compute FT
12. F = fft2(carmoire_img);
13. F_shifted = fftshift(F);
14.
15. figure();
16. subplot(1, 2, 1);
17. imshow(carmoire_img, []);
18. title('Original image');
19.
20. magnitude_spectrum = log(1 + abs(F_shifted));
21. subplot(1, 2, 2);
22. imshow(magnitude_spectrum, []);
23. title('Frequency spectrum');
```



## بخش دوم

الگوی موآره یک آرتیفکت بصری ناخواسته است که زمانی رخ می‌دهد که دو الگوی منظم و متناوب روی هم قرار بگیرند و باعث ایجاد امواج یا اعوجاج‌های دوره‌ای در تصویر شوند. این الگو می‌تواند وضوح تصویر را کاهش دهد و یک اثر تداخل ناخواسته ایجاد کند. برای حذف این نویز از فیلتر ناچ استفاده شده است. ابتدا مختصات نقاط را از روی تصویر پیدا کرده و بعد به اعمال فیلتر ناچ می‌پردازیم. با توجه به اینکه تبدیل فوریه سینوسی محض که یک تابع متناوب است، جفتی از ضربه‌های متقارن و مزدوج است لذا در تصویر بالا سمت راست (طیف) ۸ نقطه روشن می‌بینیم. لذا در ادامه به حذف آنها می‌پردازیم:

ابتدا تابعی برای اعمال فیلتر ناچ می‌نویسیم:

```
1. function filtered_F = apply_multiple_notch_filters(F_shifted, F_size, notches, radius)
2.     cols = F_size(1);
3.     rows = F_size(2);
4.     notch_filter = ones(cols, rows);
5.     for i = 1:size(notches, 1)
6.         notch_u = notches(i, 1);
7.         notch_v = notches(i, 2);
8.
9.         for u = 1:cols
10.             for v = 1:rows
11.                 if (u - notch_u)^2 + (v - notch_v)^2 <= radius^2
12.                     notch_filter(u, v) = 0;
13.                 end
14.             end
15.         end
16.     end
17.
18.     filtered_F = F_shifted .* notch_filter;
19. end
```

این تابع طیف تصویر و ابعاد آن و یک لیست از نقاطی که قرار است فیلتر اعمال بشود و شعاع مسایگی فیلتر را گرفته و بعد فیلتر را بر تصویر اعمال می‌کند. نقاط مد نظر به قرار زیر است:

```
112    41
112    81
 56    41
 55    83
 58   166
114   161
 58   207
114   203
```

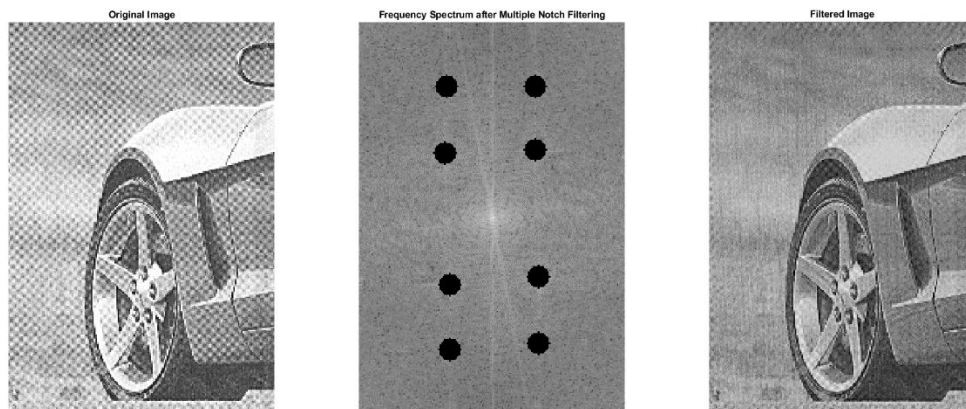
```
1. %% Part b
2. notch_points = [41, 112; 81, 112; 41, 56; 83, 55; 166, 58; 161, 114; 207, 58; 203, 114];
3. radius = 7;
4.
```



```

5. notch_filtered_F = apply_multiple_notch_filters(F_shifted, size(F_shifted), notch_points,
radius);
6.
7. % Inverse Fourier Transform to obtain the filtered image
8. F_ifft = ifftshift(notch_filtered_F); % Shift back
9. filtered_image = ifft2(F_ifft); % Inverse FFT to get the image in spatial domain
10.
11. figure;
12. subplot(1, 3, 1);
13. imshow(carmoire_img, []);
14. title('Original Image');
15.
16. subplot(1, 3, 2);
17. imshow(log(1 + abs(notch_filtered_F)), []);
18. title('Frequency Spectrum after Multiple Notch Filtering');
19.
20. subplot(1, 3, 3);
21. imshow(abs(filtered_image), []);
22. title('Filtered Image');

```



در ابتدا، تصویر اصلی دارای الگوی موآره است که به صورت موج‌های ناخواسته در برخی قسمت‌های تصویر، به خصوص در اطراف چرخ خودرو، دیده می‌شود. این الگو باعث کاهش وضوح تصویر شده و یک اعوجاج نامطلوب ایجاد کرده است. سپس، طیف فرکانسی تصویر پس از اعمال فیلتر ناچ نمایش داده شده که در آن، برخی نقاط سیاه‌رنگ مشاهده می‌شوند. این نقاط نشان‌دهنده حذف فرکانس‌هایی هستند که در ایجاد نویز موآره نقش داشته‌اند. این حذف مؤثر باعث کاهش تأثیر نویز در تصویر نهایی می‌شود. در نهایت، تصویر فیلتر شده نشان داده شده که در آن، الگوی موآره به طور چشمگیری کاهش یافته و تصویر واضح‌تر از قبل شده است. در این تصویر، جزئیات اطراف چرخ خودرو بهتر دیده می‌شوند و سایر بخش‌های تصویر، مانند بدنه خودرو و پس‌زمینه، تقریباً

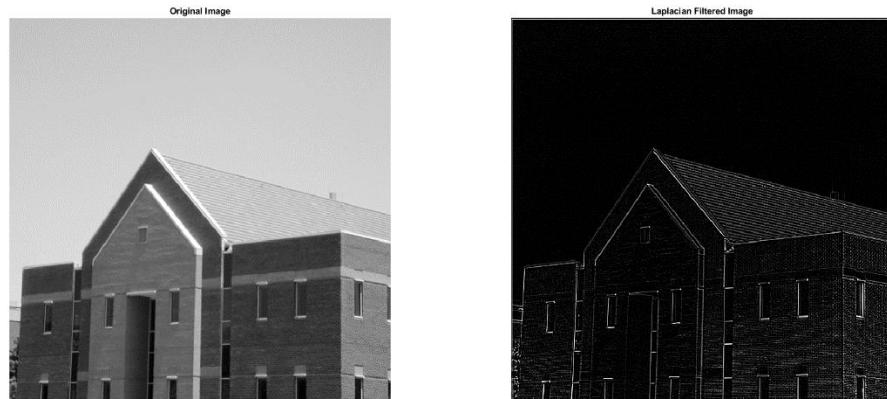
بدون تغییر باقی مانده‌اند. البته ممکن است کمی تاری در لبه‌های تصویر ایجاد شده باشد، اما در مجموع، فیلتر ناچ عملکرد مؤثری در حذف نویز موآره داشته است. این روش باعث بهبود کیفیت تصویر شده و برای کاربردهایی مانند بازیابی تصویر و کنترل کیفیت در پردازش تصویر دیجیتال بسیار مفید است.

## سوال ۶

### بخش اول

در این بخش، هدف اعمال فیلتر لاپلاسین روی تصویر ورودی به منظور برجسته‌سازی لبه‌ها و ساختارهای پرجزئیات است. ابتدا تصویر **bld.tif** بارگذاری شد و بررسی گردید که در صورت رنگی بودن، به سطح خاکستری تبدیل شود تا پردازش روی یک کانال انجام گیرد. سپس یک کرنل لاپلاسین با ابعاد  $3 \times 3$  تعریف شد که با مقادیر مشخص شده قادر است لبه‌های تصویر را با دقت بالا استخراج کند. به جای استفاده از تابع **imfilter** از تابع **conv2** برای اعمال کانولوشن دوبعدی بین کرنل و تصویر استفاده شد. از آنجایی که فیلتر لاپلاسین می‌تواند مقادیری خارج از محدوده مجاز تصویر (۰ تا ۲۵۵) تولید کند، مقادیر خروجی با استفاده از تابع **min** و **max** در این بازه بریده شده و به نوع داده‌ای **uint8** تبدیل شد تا نمایش صحیحی از تصویر فراهم گردد. در نهایت، تصویر اصلی و تصویر فیلترشده به‌صورت کنار هم نمایش داده شدند تا تأثیر فیلتر در تقویت لبه‌ها به‌وضوح قابل مشاهده باشد. این فرآیند نشان می‌دهد که فیلتر لاپلاسین با تأکید بر تغییرات ناگهانی شدت روشنایی، برای آشکارسازی مرزها و ساختارهای پرجزئیات در تصویر بسیار مؤثر است. کد مربوط به این بخش در زیر آمده است:

```
1. %% Part a
2. % Load the image
3. img = imread('images/q6/bld.tif');
4. if size(img, 3) == 3 % Convert only if the image is RGB
5.     img = rgb2gray(img);
6. end
7.
8. % Define the Laplacian kernel
9. laplacian_kernel = [-1 -1 -1; -1 8 -1; -1 -1 -1];
10.
11. % Apply the Laplacian filter using convolution
12. % filtered_img = imfilter(double(img), laplacian_kernel, 'replicate');
13. filtered_img = conv2(laplacian_kernel, img);
14. filtered_img_clip = uint8(min(max(filtered_img, 0), 255));
15.
16. % Display the original and filtered images
17. figure();
18. subplot(1,2,1); imshow(img); title('Original Image');
19. subplot(1,2,2); imshow(filtered_img_clip, []); title('Laplacian Filtered Image');
```



## بخش دوم

ابتدا تبدیل فوریه دوبعدی برای کرنل لاپلاسین انجام شد. برای اینکه بتوان تابع تبدیل را در تبدیل فوریه تصویر ضرب کرد، تبدیل فوریه با اندازه بزرگتر ( $600 \times 600$ ) انجام شد. سپس با استفاده از تابع **fftshift**، مؤلفه‌های فرکانسی با فرکانس صفر به مرکز منتقل شدند، تا نمایش طیف به صورت متقارن و قابل درک‌تر باشد. از آنجایی که مقدارهای موجود در فضای فرکانس دامنه‌ی وسیعی دارند و مقادیر بالا می‌توانند مقادیر کوچکتر را تحت‌الشعاع قرار دهند، از تبدیل لگاریتمی برای نمایش بهتر جزئیات استفاده شد. در نهایت، با استفاده از تابع **imagesc** طیف فرکانسی به صورت تصویری نمایش داده شد. از این تحلیل مشخص می‌شود که فیلتر لاپلاسین یک فیلتر **high-pass** است که مؤلفه‌های فرکانسی بالا را تقویت می‌کند و مؤلفه‌های پایین‌تر (مربوط به نواحی صاف تصویر) را تضعیف می‌نماید.

```

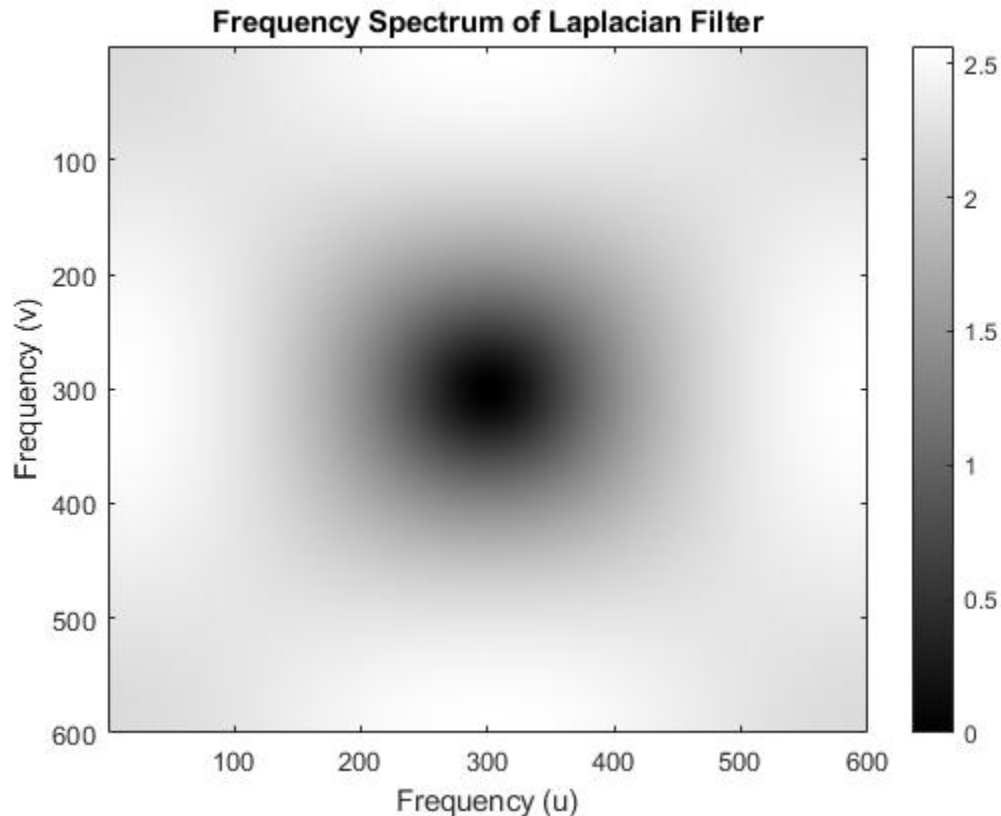
1. %% Part b
2. % Compute the 2D Fourier Transform of the kernel
3. fft_kernel = fft2(laplacian_kernel, 600, 600);
4.
5. % Shift the zero-frequency component to the center
6. fft_shifted = fftshift(abs(fft_kernel));
7.
8. % Convert to logarithmic scale for better visualization
9. fft_magnitude = log(1 + fft_shifted);
10.
11. % Plot the frequency spectrum
12. figure(2);
13. imagesc(fft_magnitude);
14. colormap('gray'); colorbar;
15. title('Frequency Spectrum of Laplacian Filter');

```

```

۱۶. xlabel('Frequency (u)');
۱۷. ylabel('Frequency (v)');

```

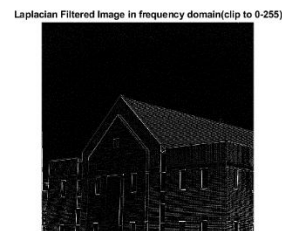
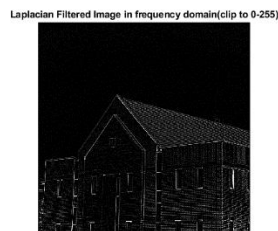
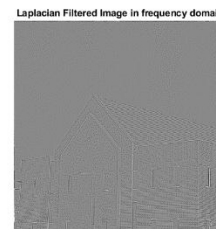
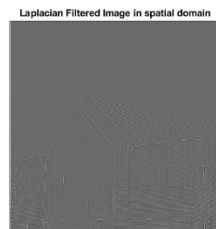


بخش سوم

در این بخش، فیلتر لاپلاسین به جای اعمال مستقیم در حوزه مکانی، به صورت ضرب در فضای فرکانسی روی تصویر اعمال شد. ابتدا برای تطبیق ابعاد کرنل لاپلاسین با تصویر، این کرنل با استفاده از **padarray** به ابعاد تصویر (۶۰۰×۶۰۰) توسعه داده شد، به طوری که مقادیر اضافی صفر در انتهای سطرها و ستون‌ها اضافه شدند. سپس، تبدیل فوریه دوبعدی (**fft2**) روی کرنل و تصویر انجام شد و با **fftshift**، مؤلفه‌های فرکانسی به مرکز منتقل شدند. در فضای فرکانسی، اعمال فیلتر لاپلاسین با ضرب ساده‌ی طیف تصویر و طیف فیلتر انجام گرفت. نتیجه‌ی حاصل، با تبدیل فوریه معکوس (**ifft2**) به فضای مکانی بازگردانده شد. از آنجایی که ممکن است مقادیر خروجی خارج از محدوده‌ی قابل نمایش تصویر (۰ تا ۲۵۵) باشند، نسخه‌ای از تصویر نیز با استفاده از **min** و **max** در این بازه بریده (**clip**) و به **uint8** تبدیل شد. در شکل‌های حاصل، چهار تصویر نمایش داده شد که امکان مقایسه مستقیم بین نتایج این دو روش را فراهم می‌کند. با وجود تفاوت‌های عددی جزئی، نتایج بصری حاصل از هر دو روش مشابه هستند و تأکید فیلتر بر لبه‌ها و تغییرات شدید شدت روشنایی را نشان می‌دهند.

این مسئله تأییدی بر اصل مهمی در پردازش سیگنال‌هاست که اعمال کانولوشن در حوزه مکان معادل ضرب در حوزه فرکانس است.

```
1. %% Part c
2. pad_mask = padarray(laplacian_kernel,[597 597],'post');
3. mask_fft=fftshift(fft2(pad_mask));
4. img_fft=fftshift(fft2(img));
5.
6. img_frequency_filtered=ifft2(fftshift(mask_fft .* img_fft));
7. img_frequency_filtered_clip = uint8(min(max(img_frequency_filtered, 0), 255));
8.
9. figure(3);
10. subplot(2, 2, 1);
11. imshow(filtered_img, []); title('Laplacian Filtered Image in spatial domain');
12.
13. subplot(2, 2, 2);
14. imshow(img_frequency_filtered, []); title('Laplacian Filtered Image in frequency domain');
15.
16. subplot(2, 2, 3);
17. imshow(filtered_img_clip, []); title('Laplacian Filtered Image in frequency domain (clip to 0-255)');
18.
19. subplot(2, 2, 4);
20. imshow(img_frequency_filtered_clip, []); title('Laplacian Filtered Image in frequency domain (clip to 0-255)');
```



بخش چهارم

همان‌طور که در خروجی‌ها مشاهده شد، نتایج بصری حاصل از هر دو روش بسیار به یکدیگر نزدیک هستند، به‌ویژه زمانی که پدینگ کرنل در حوزه فرکانس به‌درستی انجام شده و جابه‌جایی‌های لازم با `fftshift` و

**ifftshift** صورت گرفته باشد. در هر دو روش، لبه‌ها و نواحی دارای تغییر شدت شدید به‌خوبی تقویت شده و نواحی یکنواخت تضعیف شده‌اند. با این حال، تفاوت‌هایی نیز میان دو روش وجود دارد. یکی از مهم‌ترین تفاوت‌ها مربوط به دقت عددی است؛ در روش فرکانسی ممکن است به دلیل محاسبات فوریه و معکوس آن، مقادیر موهومی بسیار کوچکی تولید شود که معمولاً با تابع **real()** حذف می‌شوند. از سوی دیگر، در فیلتر مکانی، نحوه‌ی برخورد با لبه‌های تصویر (مثلاً استفاده از پدینگ صفر، تکرار مقادیر یا تقارن) بر نتیجه تأثیر می‌گذارد، در حالی که در حوزه فرکانس، کانولوشن به‌صورت دوری در نظر گرفته می‌شود و این می‌تواند باعث ایجاد اعوجاج در اطراف لبه‌های تصویر شود، مگر آن‌که پدینگ مناسب اعمال شود. از نظر سرعت نیز باید گفت که در فیلترهایی با اندازه کوچک مانند لاپلاسین  $3 \times 3$ ، روش مکانی سریع‌تر و ساده‌تر است؛ اما زمانی که اندازه کرنل بزرگ‌تر شده یا چند فیلتر به‌طور همزمان اعمال می‌شوند، روش فرکانسی می‌تواند از نظر محاسباتی بهینه‌تر باشد.

سوال ۷

بخش اول

سوال ۱۵:

$$F(0,0) = \sum_y \sum_x f(x,y), \quad \bar{F} = \frac{1}{MN} \sum_y \sum_x f(x,y), \quad F(0,0) = MN \cdot \bar{F}$$

برای رسم بنیم جبه  $\frac{1}{MN}$  یا  $\frac{1}{\sqrt{MN}}$  در یک کجی نشود ابتدا به ترتیب رابطه با  $\frac{1}{\sqrt{MN}}$  می‌نویسیم مقادیر بنیم برای رسم کنیم  $(\bar{F})$  پس DFT تصویر گرفته

۱.  $F(0,0) = MN \cdot \bar{F} \rightarrow$  ضرب  $\frac{1}{MN}$  در DFT اعمال شد

۲.  $F(0,0) = \bar{F} \rightarrow$  " " " " DFT اعمال شد

۳.  $F(0,0) = \sqrt{MN} \cdot \bar{F} \rightarrow$  ضرب  $\frac{1}{\sqrt{MN}}$  در DFT،  $\frac{1}{\sqrt{MN}}$  در IDFT اعمال شد







از طرفی  $F(-u, -v) = F^*(u, v)$  (در مرحله ۱، تبدیل نوزاد معکوس گرفته می‌شود):

$$F^*(u, v) = f(-u, -v) = \sum_n \sum_m f(n, m) e^{j2\pi \left( -\frac{u}{M}n + \frac{v}{N}m \right)}$$

$$f(n, m) = \frac{1}{MN} \sum_u \sum_v F^*(u, v) e^{j2\pi \left( \frac{u}{M}n + \frac{v}{N}m \right)} = \frac{1}{MN} \sum_u \sum_v F(-u, -v) e^{j2\pi \left( \frac{u}{M}n + \frac{v}{N}m \right)}$$

تغییر متغیر:  $u' = -u, v' = -v$

$$f(n, m) = \frac{1}{MN} \sum_{u'} \sum_{v'} F(u', v') e^{-j2\pi \left( \frac{u'}{M}n + \frac{v'}{N}m \right)} = f(-n, -m)$$

در مرحله آخر هم متغیر  $u, v$  را به  $u', v'$  تغییر می‌دهیم که در این صورت باز برگشتن در واقع عمل تکرار در مرحله اول است که قبلاً اثبات شد.

بخش چهارم

سوال ۳ الف: اگر ابتدا تصویر را  $h(n, m)$  (تصویر مقیاس ۱) در حوزه مکان  $(n, m)$  داریم. تبدیل

$$g(n, m) = h(n, m) * f(n, m) \xrightarrow{\text{تبدیل}} T(g(n, m)) = T(h(n, m) * f(n, m)) = g'(n, m)$$

حالا اگر ابتدا تصویر اصلی  $h(n, m)$  را تبدیل کنیم و بعد  $f(n, m)$  را با آن در حوزه فرکانس  $(u, v)$  ضرب کنیم داریم:

$$g(n, m) = h(n, m) * T(f(n, m)) \neq g'(n, m)$$

نتیجه:  $T$  عمل غیر خطی است.

بخش ب: معیار تقویت نگاشت  $h$  به  $g$  را تقریباً می‌کنند و گفتار است که کاهش می‌دهد. اگر  $h$  ابتدا تبدیل هسته‌ای  $M$  داریم، هم  $h$  بعد  $hE$  است با اعمال  $HE$  از پیش می‌رویم. پس باید ابتدا  $h$  را تبدیل کنیم و بعد  $HE$  اعمال شود.



مثال ۲۲. فضای محتمل تصویر را با فرض  $\delta$  ثابت  $K$  داریم که مربوط به رشتای ثابت (خوب تر) است. اسف در تصویر پالس که مربوط به رشتای رشتای است.  $\delta(x-x_0, y-y_0)$  داریم.

$$f(x, y) = K \delta(x-x_0, y-y_0)$$

بر اساس اصل تغییر و اصل محتمل.

$$\log f(x, y) = \log K + \log \delta(x-x_0, y-y_0) = Z(x, y)$$

$$F(Z(x, y)) = F(\log K) + F(\delta(x-x_0, y-y_0)) = \delta(0, 0) + e^{-2\pi i (u x_0 + v y_0)}$$

حال از اصل محتمل  $\delta(0, 0)$  را حذف کند.  $\delta(0, 0)$  را حذف کند.  $\delta(0, 0)$  را حذف کند.  $\delta(0, 0)$  را حذف کند.

$$H(u, v) = \begin{cases} 0 & (u, v) = (0, 0) \\ 1 & \text{و غیره} \end{cases}$$

در نهایت تبدیل فرکانس را میگیریم و به نحایی که میخوایم را حذف می کنیم.